

Влияние зеемановского расщепления на осцилляции Шубникова–де Гааза в двумерных системах

© С.А. Тарасенко

Физико-технический институт им. А.Ф. Иоффе Российской академии наук,
194021 Санкт-Петербург, Россия

E-mail: tarasenko@coherent.ioffe.rssi.ru

(Поступила в Редакцию 29 октября 2001 г.)

Построена теория эффекта Шубникова–де Гааза в наклонном магнитном поле в двумерных системах. Рассчитан тензор проводимости при произвольном отношении зеемановского расщепления к циклотронному (r) с учетом возможной анизотропии g -фактора. Показано, что при целом r в спектре осцилляций Шубникова–де Гааза доминирует основная гармоника, а фаза осцилляций зависит от четности r . При полуполом r осцилляции проводимости определяются гармониками второго порядка малости.

Работа поддержана Министерством науки РФ, Российским фондом фундаментальных исследований, INTAS и программой президиума РАН „Квантовые низкоразмерные структуры“.

Как известно, в магнитном поле при низких температурах проводимость вырожденного электронного газа осциллирует при изменении поля (эффект Шубникова–де Гааза). Причина этого эффекта состоит в последовательном пересечении уровня Ферми уровнями Ландау в квантующем магнитном поле. В двумерных системах малые осцилляции проводимости наблюдаются в классических магнитных полях, когда $\omega_c \tau \sim 1$, где ω_c — циклотронная частота, τ — время релаксации носителей. Соответствующим малым параметром, определяющим амплитуду осцилляций, является величина $\exp(-\pi/\omega_c \tau)$. Эффект Шубникова–де Гааза в $2D$ системах теоретически изучен в работах [1,2] и в настоящее время является одним из основных методов характеристики проводящих структур.

Одновременно с диамагнитным (циклотронным) квантованием в магнитном поле происходит расщепление электронных состояний на спиновые подуровни — эффект Зеемана. Это расщепление, Δ , линейно по магнитному полю и определяется g -фактором носителей.

В объемных материалах обычно выполняется соотношение $\Delta \ll \hbar\omega_c$, поэтому зеемановское расщепление не влияет на малые осцилляции Шубникова–де Гааза и проявляется только в очень сильных магнитных полях, когда осцилляции проводимости становятся не малыми. Гальваномагнитные явления в объемных материалах с учетом спинового расщепления рассмотрены в работе [3]. Качественно новая ситуация возникает в $2D$ системах. При приложении магнитного поля под углом к плоскости электронного газа появляется возможность менять в широких пределах отношение $r = \Delta/\hbar\omega_c$, поскольку зеемановское расщепление определяется полным магнитным полем \mathbf{B} , а циклотронное в случае сильного размерного квантования носителей — компонентой поля B_{\perp} , перпендикулярной плоскости электронного газа [4].

Наличие зеемановского расщепления, сравнимого с расстоянием между уровнями Ландау, существенно

меняет вид магнитоосцилляционных эффектов. Например, когда циклотронное расщепление вдвое превышает зеемановское, $r \approx 1/2$, осцилляции наблюдаются на удвоенной частоте. Подобные магнитотранспортные измерения в наклонном поле, предложенные в работе [5], интенсивно проводятся в последнее время, что позволяет определять, например, g -факторы электронов в квантовых ямах [6–13]. Однако последовательной теории эффекта в настоящее время не существует, что допускает анализ экспериментальных данных лишь на качественном уровне.

Цель настоящей работы состоит в создании теории эффекта Шубникова–де Гааза в $2D$ системах в наклонном магнитном поле. При описании зеемановского расщепления будет принята во внимание возможная анизотропия электронного g -фактора. Предполагается, что рассеяние носителей происходит на короткодействующем потенциале, а время спиновой релаксации существенно превышает время релаксации импульса.

1. Расчет тензора проводимости

Расчет тензора проводимости в режиме осцилляций Шубникова–де Гааза удобно проводить методом диаграммной техники. Функция Грина невзаимодействующих электронов, находящихся во внешнем магнитном поле, с учетом спинового расщепления в общем случае представляет собой матрицу размерности (2×2)

$$\mathcal{G}_{\varepsilon}(\mathbf{r}, \mathbf{r}') = \sum_{n, k_y} \hat{G}_{\varepsilon}(n, k_y) \psi_{nk_y}(\mathbf{r}) \psi_{nk_y}^*(\mathbf{r}'), \quad (1)$$

где $\psi_{nk_y}(\mathbf{r}) = \phi_{nk_y}(\boldsymbol{\rho}) u(z)$ — координатные волновые функции электронов в квантовой яме во внешнем магнитном поле в калибровке Ландау с векторным потенциалом $\mathbf{A} = (0, B_{\perp} x, 0)$, n и k_y — номера уровней Ландау и величины волновых векторов, $u(z)$ — функция размерного квантования. Волновые функции носителей в плоскости квантовой ямы $\phi_{nk_y}(\boldsymbol{\rho})$ и электронный

спектр определяются только перпендикулярной компонентой поля, поскольку энергия размерного квантования существенно превышает расстояние между уровнями Ландау.

Будем считать, что выполняется условие хорошей проводимости электронного газа

$$E_F \tau / \hbar \gg 1, \quad (2)$$

энергия Ферми E_F значительно превышает спиновое расщепление и расстояние между уровнями Ландау

$$E_F \gg \Delta, \hbar \omega_c, \quad (3)$$

где $\omega_c = eB_{\perp}/mc$ — циклотронная частота, m — эффективная масса электрона для движения в плоскости, e и c — элементарный заряд и скорость света.

При рассеянии на системе случайно распределенных короткодействующих рассеивателей и отсутствии спиновой релаксации матрица \hat{G}_{ε} имеет вид

$$\hat{G}_{\varepsilon}(n, k_y) = [\varepsilon + E_F - \hbar \omega_c(n + 1/2) - \hat{H}_s - \hat{X}_{\varepsilon}]^{-1}, \quad (4)$$

где \hat{H}_s — гамильтониан, описывающий зеемановское расщепление

$$\hat{H}_s = (\mu_0/2) \sum_{\alpha\beta} g_{\alpha\beta} \hat{\sigma}_{\alpha} B_{\beta}, \quad (5)$$

μ_0 — магнетон Бора, $g_{\alpha\beta}$ — тензор электронного g -фактора, $\hat{\sigma}_{\alpha}$ — матрица Паули, α и β — декартовы координаты. Собственно энергетическая часть \hat{X}_{ε} в рамках самосогласованного борновского приближения не зависит от номера n [1, 3] и определяется уравнением

$$\hat{X}_{\varepsilon} = \frac{\hbar \omega_c}{\pi} \frac{\hbar}{2\tau} \sum_n \hat{G}_{\varepsilon}(n, k_y). \quad (6)$$

С учетом (4), (6) матрицу \hat{X}_{ε} можно представить в виде

$$\hat{X}_{\varepsilon} = a_{\varepsilon} \hat{I} + b_{\varepsilon} \hat{H}_s / \Delta, \quad (7)$$

где a_{ε} и b_{ε} — комплексные величины. Величина спинового расщепления в общем виде определяется выражением

$$\Delta = \mu_0 \sqrt{\sum_{\alpha} \left(\sum_{\beta} g_{\alpha\beta} B_{\beta} \right)^2}, \quad (8)$$

которое в случае естественной анизотропии g -фактора, вызванной наличием оси размерного квантования, $g_{xx} = g_{yy} = g_{\parallel}$, $g_{zz} = g_{\perp}$, $g_{\alpha\beta} = 0$ ($\alpha \neq \beta$), переходит в соотношение

$$\Delta = \mu_0 \sqrt{g_{\parallel}^2 B_{\parallel}^2 + g_{\perp}^2 B_{\perp}^2}, \quad (9)$$

где B_{\parallel} — компонента магнитного поля, лежащая в плоскости электронного газа.

Применяя формулу суммирования Пуассона

$$\sum_n f(n) = \frac{f(0)}{2} + \sum_{k=-\infty}^{\infty} \int_0^{\infty} dn \exp(2\pi i k n) f(n) \quad (10)$$

и пренебрегая первым слагаемым, из (6) можно получить следующую замкнутую систему уравнений для a_{ε} и b_{ε} :

$$\begin{aligned} a_{\varepsilon} &= -i \frac{\hbar}{2\tau} \left\{ 1 + 2 \sum_{k=1}^{\infty} \exp \left[2\pi i k \left(\frac{E_F + \varepsilon - a_{\varepsilon}}{\hbar \omega_c} - \frac{1}{2} \right) \right. \right. \\ &\quad \left. \left. \times \text{sign } \varepsilon \right] \cos \left(\pi k \frac{\Delta + b_{\varepsilon}}{\hbar \omega_c} \right) \right\} \text{sign } \varepsilon, \\ b_{\varepsilon} &= -\frac{\hbar}{\tau} 2 \sum_{k=1}^{\infty} \exp \left[2\pi i k \left(\frac{E_F + \varepsilon - a_{\varepsilon}}{\hbar \omega_c} - \frac{1}{2} \right) \right. \\ &\quad \left. \times \text{sign } \varepsilon \right] \sin \left(\pi k \frac{\Delta + b_{\varepsilon}}{\hbar \omega_c} \right). \end{aligned} \quad (11)$$

Аналогичное уравнение для собственно энергетической части функции Грина без учета спиновых эффектов получено, например, в работе [14].

Для расчета тензора проводимости на частоте электрического поля $\omega > 0$ будем использовать следующее соотношение [3,14]:

$$\begin{aligned} \sigma_{\alpha\beta}(\omega) &= \frac{1}{\omega} \text{Sp} \iint d\mathbf{r} d\mathbf{r}' \int_{-\infty}^{\infty} \frac{d\varepsilon}{2\pi} [\hat{J}_{\alpha}(\mathbf{r}) \mathcal{G}_{\varepsilon+\hbar\omega}(\mathbf{r}, \mathbf{r}') \\ &\quad \times [\hat{J}_{\beta}(\mathbf{r}') \mathcal{G}_{\varepsilon}(\mathbf{r}', \mathbf{r})] + \frac{iNe^2}{m\omega} \delta_{\alpha\beta}], \end{aligned} \quad (12)$$

где $\hat{\mathbf{J}}(\mathbf{r})$ — оператор плотности электрического тока, диагональный по спиновым индексам,

$$\hat{\mathbf{J}}(\mathbf{r}) = -\frac{e}{m} \left[-i\hbar \nabla + \frac{e}{c} \mathbf{A}(\mathbf{r}) \right] \hat{I}, \quad (13)$$

N — полная концентрация электронов; суммирование Sp происходит по спиновым переменным. В дальнейшем нас будет интересовать статическая проводимость, поэтому частота ω будет предполагаться малой и в конечных выражениях устремляться к нулю. Поскольку компоненты тензора проводимости вещественны при $\omega = 0$ и связаны между собой соотношениями $\sigma_{xx} = \sigma_{yy}$, $\sigma_{xy} = -\sigma_{yx}$, достаточно вычислить величину

$$\sigma = \sigma_{xx} + i\sigma_{xy}. \quad (14)$$

Используя вид функции Грина в координатном представлении (1) и матричные элементы оператора плотности тока на собственных функциях электрона в магнитном поле

$$\begin{aligned} \langle n' k'_y | \hat{J}_x | n k_y \rangle &= ie \sqrt{\frac{\hbar \omega_c}{2m}} (\sqrt{n} \sigma_{n',n-1} - \sqrt{n+1} \delta_{n',n+1}) \delta_{k_y, k'_y}, \\ \langle n' k'_y | \hat{J}_y | n k_y \rangle &= -e \sqrt{\frac{\hbar \omega_c}{2m}} \\ &\quad \times (\sqrt{n} \sigma_{n',n-1} - \sqrt{n+1} \delta_{n',n+1}) \delta_{k_y, k'_y}, \end{aligned} \quad (15)$$

проводимость σ можно представить в следующем виде:

$$\sigma = \frac{e^2 \omega_c^2}{2\pi\omega} \text{Sp} \sum_n n \int_{-\infty}^{\infty} \frac{d\varepsilon}{2\pi} \hat{G}_{\varepsilon+\hbar\omega}(n) \hat{G}_{\varepsilon}(n-1) + \frac{iNe^2}{m\omega}. \quad (16)$$

После суммирования по спиновым индексам нетрудно заметить, что $\text{Sp} \hat{G} \hat{G}$ представляет собой сумму двух слагаемых

$$\text{Sp} \hat{G}_{\varepsilon+\hbar\omega} \hat{G}_{\varepsilon} = G_{\varepsilon+\hbar\omega}^{(+)} G_{\varepsilon}^{(+)} + G_{\varepsilon+\hbar\omega}^{(-)} G_{\varepsilon}^{(-)}, \quad (17)$$

каждое из которых является произведением функций

$$G_{\varepsilon}^{(\pm)}(n) = [\varepsilon + E_F \mp \Delta/2 - \hbar\omega_c(n+1/2) - X_{\varepsilon}^{(\pm)}]^{-1}, \quad (18)$$

где величины $X^{(\pm)}$ определяются выражением

$$X_{\varepsilon}^{(\pm)} = a_{\varepsilon} \pm b_{\varepsilon}/2. \quad (19)$$

Используя систему уравнений для a_{ε} и b_{ε} (11), можно получить независимые уравнения для $X^{(\pm)}$

$$X_{\varepsilon}^{(\pm)} = -i \frac{\hbar}{2\tau} \left\{ 1 + 2 \sum_{k=1}^{\infty} \exp \left[2\pi i k \times \left(\frac{E_F \mp \Delta/2 + \varepsilon - X_{\varepsilon}^{(\pm)}}{\hbar\omega_c} - \frac{1}{2} \right) \text{sign} \varepsilon \right] \right\} \text{sign} \varepsilon, \quad (20)$$

которые отличаются только знаком перед слагаемым $\Delta/2$.

Нетрудно заметить, что функции $G^{(\pm)}$ представляют собой функции Грина невзаимодействующих бесспиновых электронов в магнитном поле с эффективным уровнем Ферми $E_F \mp \Delta/2$, т.е. частиц, находящихся на верхнем и нижнем спиновых уровнях, а уравнения (20) — уравнения для собственно энергетических частей этих функций Грина. Таким образом, соотношение (17) формально демонстрирует, что спиновые подсистемы, как и следовало ожидать, при отсутствии спиновой релаксации вносят независимые вклады в проводимость, $\sigma = \sigma^{(+)} + \sigma^{(-)}$. При этом вклад в проводимость от каждой спиновой подзоны рассчитывается, как и проводимость без учета спиновых эффектов, $\tilde{\sigma}$, с заменой величины E_F на энергетическое расстояние между уровнем Ферми и дном спиновой подзоны, $E_F \mp \Delta/2$,

$$\sigma^{(\pm)} = \tilde{\sigma}(E_F \mp \Delta/2). \quad (21)$$

После суммирования по уровням Ландау с использованием формулы Пуассона (10) (детальный расчет без учета спиновых эффектов приведен в работе [14]) выражение для проводимости приобретает вид

$$\sigma^{(\pm)} = \frac{e^2 \tau}{\hbar^3 \omega} E_F \int_{-\infty}^{\infty} \frac{d\varepsilon}{2\pi} (X_{\varepsilon+\hbar\omega}^{(\pm)} - X_{\varepsilon}^{(\pm)}) / (\hbar\omega_c + X_{\varepsilon+\hbar\omega}^{(\pm)} - X_{\varepsilon}^{(\pm)}). \quad (22)$$

Разлагая собственно энергетические части до второго порядка по параметру $\exp(-\pi/\omega_c \tau)$, получаем

$$X_{\varepsilon}^{(\pm)} = -i \frac{\hbar}{2\tau} \left\{ 1 + 2 \exp \left(-\frac{\pi}{\omega_c \tau} \right) \exp \left[2\pi i \times \left(\frac{E_F \mp \Delta/2 + \varepsilon}{\hbar\omega_c} - \frac{1}{2} \right) \text{sign} \varepsilon \right] + 2 \left(1 - \frac{2\pi}{\omega_c \tau} \right) \exp \left(-\frac{2\pi}{\omega_c \tau} \right) \times \exp \left[4\pi i \left(\frac{E_F \mp \Delta/2 + \varepsilon}{\hbar\omega_c} - \frac{1}{2} \right) \text{sign} \varepsilon \right] \right\} \text{sign} \varepsilon. \quad (23)$$

Окончательное выражение для тензора статической проводимости ($\omega \rightarrow 0$) с точностью до второго порядка имеет вид

$$\begin{aligned} \sigma_{xx} &= \frac{Ne^2 \tau / m}{1 + \Omega^2} \left\{ 1 + \frac{2\Omega^2}{1 + \Omega^2} \delta_1 + \left[\frac{2\Omega^2}{1 + \Omega^2} \left(1 - \frac{2\pi}{\Omega} \right) - \frac{(3 - \Omega^2)\Omega^2}{(1 + \Omega^2)^2} \right] \delta_2 \right\}, \\ \sigma_{xy} &= -\frac{Ne^2 \tau \Omega / m}{1 + \Omega^2} \left\{ 1 - \frac{1 + 3\Omega^2}{(1 + \Omega^2)\Omega^2} \delta_1 - \left[\frac{1 + 3\Omega^2}{(1 + \Omega^2)\Omega^2} \left(1 - \frac{2\pi}{\Omega} \right) - \frac{1 - 3\Omega^2}{(1 + \Omega^2)^2} \right] \delta_2 \right\}, \quad (24) \end{aligned}$$

где $\Omega = \omega_c \tau$, δ_1 и δ_2 — осциллирующие величины первого и второго порядков малости

$$\begin{aligned} \delta_1 &= 2 \exp \left(-\frac{\pi}{\omega_c \tau} \right) \cos \left(2\pi \frac{E_F}{\hbar\omega_c} - \pi \right) \cos \left(\pi \frac{\Delta}{\hbar\omega_c} \right), \\ \delta_2 &= 2 \exp \left(-\frac{2\pi}{\omega_c \tau} \right) \cos \left(4\pi \frac{E_F}{\hbar\omega_c} \right) \cos \left(2\pi \frac{\Delta}{\hbar\omega_c} \right). \quad (25) \end{aligned}$$

При отличной от нуля температуре происходит размытие электронного распределения, что приводит к температурному затуханию осцилляций. Проведя аналогичный расчет тензора проводимости методом диаграммной техники Мацубары при конечной температуре, можно показать, что выражение (24) сохранится, а у величин δ_1 и δ_2 появятся обычные температурные множители

$$\begin{aligned} \delta_1 &= 2 \exp \left(-\frac{\pi}{\omega_c \tau} \right) \times \cos \left(2\pi \frac{E_F}{\hbar\omega_c} - \pi \right) \cos \left(\pi \frac{\Delta}{\hbar\omega_c} \right) \frac{\lambda}{\sinh \lambda}, \\ \delta_2 &= 2 \exp \left(-\frac{2\pi}{\omega_c \tau} \right) \times \cos \left(4\pi \frac{E_F}{\hbar\omega_c} \right) \cos \left(2\pi \frac{\Delta}{\hbar\omega_c} \right) \frac{2\lambda}{\sinh 2\lambda}, \quad (26) \end{aligned}$$

где $\lambda = 2\pi^2 T / \hbar\omega_c$, T — температура, выраженная в энергетических единицах.

Соотношения (24) вместе с (26) и (9) описывают магнитопроводимость двумерных систем в режиме малых осцилляций Шубникова–де Гааза в магнитном поле произвольной ориентации.

2. Результаты расчета и обсуждение

На рис. 1 представлены зависимости сопротивления $\rho_{xx} = \sigma_{xx}/(\sigma_{xx}^2 + \sigma_{xy}^2)$ от магнитного поля при различных значениях соотношения $r = \Delta/\hbar\omega_c$, рассчитанные по формулам (24) для нулевой температуры и параметра $E_F\tau/\hbar = 10$. При отсутствии спинового расщепления (рис. 1, *a*) малые осцилляции Шубникова–де Гааза определяются гармоникой $\cos(2\pi E_F/\hbar\omega_c)$ первого порядка малости по параметру $\exp(-\pi/\omega_c\tau)$. Кратные гармоники проявляются лишь в более сильных полях, когда амплитуда осцилляций становится не малой, и приводит к изменению формы осцилляций.

Спиновое расщепление, сравнимое с циклотронным, качественно меняет поведение осцилляций Шубникова–де Гааза. Поскольку спиновые подсистемы вносят аддитивные вклады в проводимость, параметры осцилляций зависят от относительного расположения уровней Ландау спиновых подзон. В выражениях для осциллирующих частей тензора проводимости это приводит к появлению множителей $\cos(\pi\Delta/\hbar\omega_c)$ и $\cos(2\pi\Delta/\hbar\omega_c)$ (25), (26). На рис. 2 схематично изображено расположение уровней Ландау при фиксированном значении циклотронного расщепления и различных значениях параметра r .

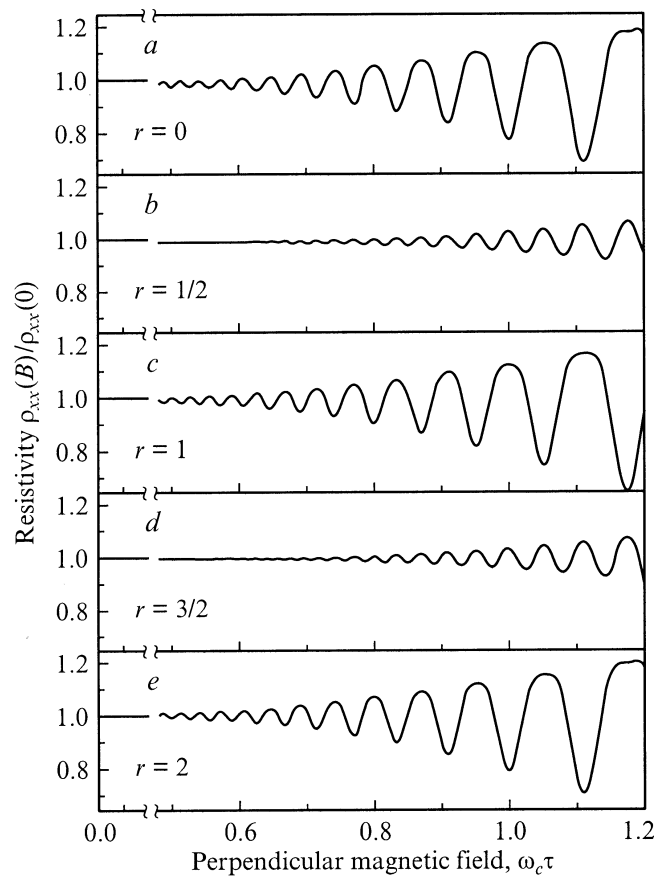


Рис. 1. Зависимость сопротивления ρ_{xx} от магнитного поля в условиях эффекта Шубникова–де Гааза при различных отношениях спинового расщепления к циклотронному.

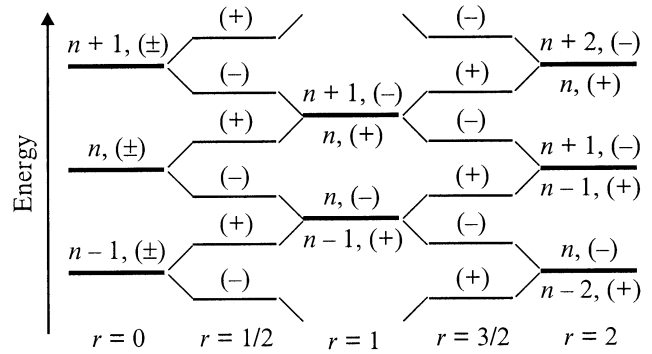


Рис. 2. Расположение уровней Ландау спиновых подсистем при различных значениях зеемановского расщепления.

При полуцелых $r = 1/2, 3/2 \dots$ уровни Ландау от спиновых подсистем максимально „рассогласованы“, т.е. уровни Ландау от одной спиновой подзоны находятся посередине между уровнями Ландау от другой подзоны (рис. 2). Это приводит к тому, что осцилляции проводимости от спиновых подсистем взаимно компенсируются в первом порядке по параметру $\exp(-\pi/\omega_c\tau)$. В результате эффект Шубникова–де Гааза определяется гармоникой второго порядка малости, в которую спиновые подсистемы вносят совпадающие вклады при полуцелых r . Такое удвоение частоты осцилляций и уменьшение амплитуды хорошо видно на рис. 1, *b* и *d*.

Когда спиновое расщепление кратно циклотронному, $r = 1, 2, 3 \dots$, происходит „согласование“ уровней Ландау от спиновых подсистем (рис. 2) и в спектре осцилляций Шубникова–де Гааза снова доминирует основная гармоника. Однако положения максимумов и минимумов сопротивления при четных (рис. 1, *e*) и нечетных (рис. 1, *c*) r различны, поскольку в этих случаях положения уровней Ландау отличаются на величину $\hbar\omega_c/2$ (рис. 2). Гармоники второго порядка, несколько меняющие форму осцилляций, одинаковы для всех целых r .

Экспериментально эффект Шубникова–де Гааза в наклонном магнитном поле исследовался в ряде работ [5–13]. Эффект смены фазы основной гармоники при переходе от четных к нечетным r использовался для определения g -фактора. При полуцелых значениях r наблюдалось удвоение частоты осцилляций и уменьшение амплитуды, что согласуется с нашими расчетами. Экспериментальные данные, приведенные в работах [9,11,12], показывают, однако, что фазы осцилляций второй гармоники могут быть различны. В [12] экстремумы в зависимости ρ_{xx} от магнитного поля при целых r переходят в максимумы сопротивления при полуцелых r , как и в нашем расчете. В работах [9,11] фаза второй гармоники противоположна. Такое различие в знаке, который определяется плавными функциями магнитного поля, стоящими перед δ_2 (24), возможно, связано со значительным отличием транспортного времени релаксации от квантового в исследованных структурах.

Автор благодарен Н.С. Аверкиеву и Л.Е. Голубу за полезные обсуждения.

Список литературы

- [1] T. Ando. J. Phys. Soc. Japan **37**, 1233 (1974).
- [2] A. Isihara, L. Smrčka. J. Phys. **C19**, 6777 (1986).
- [3] А.А. Абрикосов. ЖЭТФ **56**, 1391 (1969).
- [4] T. Ando, A. Fowler, F. Stern. Rev. Mod. Phys. **54**, 2, 437 (1982). [Т. Андо, А. Фаулер, Ф. Стерн. Электронные свойства двумерных систем. Мир, М. (1985)].
- [5] F.F. Fang, P.J. Stiles. Phys. Rev. **174**, 823 (1968).
- [6] T.P. Smith III, F.F. Fang. Phys. Rev. **B35**, 7729 (1987).
- [7] R.J. Nicholas, R.J. Haug, K.V. Klitzing, G. Weimann. Phys. Rev. **B37**, 1294 (1988).
- [8] S.J. Koester, K. Ismail, J.O. Chu. Semicond. Sci. Technol. **12**, 384 (1997).
- [9] D.R. Leadley, R.J. Nicholas, J.J. Harris, C.T. Foxon. Phys. Rev. **B58**, 13 036 (1998).
- [10] W. Pan, D.C. Tsui, B.L. Draper. Phys. Rev. **B59**, 10 208 (1999).
- [11] S. Brosig, K. Ensslin, A.G. Jansen, C. Ngueyn, B. Brar, M. Thomas, H. Kroemer. Phys. Rev. **B61**, 13 045 (2000).
- [12] S.A. Vitkalov, H. Zheng, K.M. Mertes, M.P. Sarachik, T.M. Klapwijk. Phys. Rev. Lett. **85**, 2164 (2000).
- [13] V.M. Pudalov, M. Gershenson, H. Kojima, N. Butch, E.M. Dizhur, G. Brunthaler, A. Prinz, G. Bauer. arXiv:cond-mat/0105081.
- [14] N.S. Averkiev, L.E. Golub, S.A. Tarasenko, M. Willander. J. Phys.: Condens. Matter **13**, 2517 (2001).